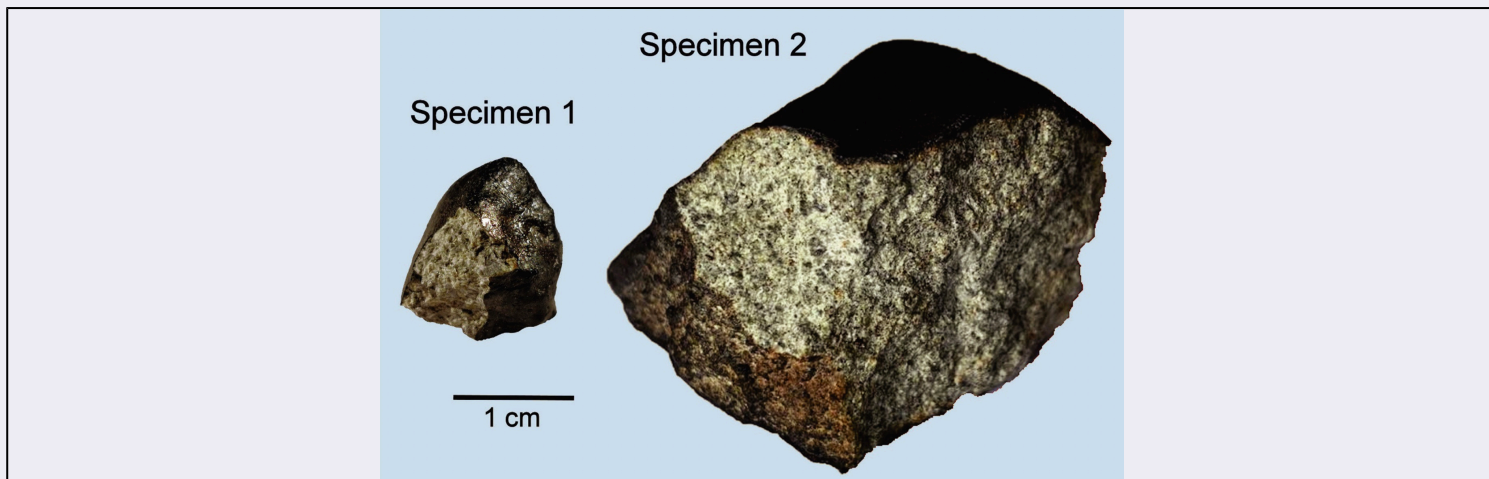


# SCHEDA



## CD - CODICI

|                                 |                   |
|---------------------------------|-------------------|
| TSK - Tipo scheda               | BNPL              |
| LIR - Livello ricerca           | C                 |
| NCT - CODICE UNIVOCO            |                   |
| NCTR - Codice regione           | 09                |
| NCTN - Numero catalogo generale | 01332814          |
| ESC - Ente schedatore           | AI479             |
| ECP - Ente competente           | S155              |
| EPR - Ente proponente           | Fondazione PARSEC |

## RV - RELAZIONI

### RVE - STRUTTURA COMPLESSA

|                |   |
|----------------|---|
| RVEL - Livello | 0 |
|----------------|---|

## AC - ALTRI CODICI

|                             |           |
|-----------------------------|-----------|
| ACM - Codice museo          | MSP       |
| ACI - Codice internazionale | MSP       |
| ACO - Codice collezione     | METEORITI |
| ACK - Codice campione       | 8527      |
| ACK - Codice campione       | 8528      |
| ACK - Codice campione       | 8529      |

## OG - OGGETTO

### OGT - OGGETTO

|                                 |  |
|---------------------------------|--|
| OGTD - Definizione              | Meteorite/ Condrite ordinaria anomala/ Cavezzo   |
| OGTL - Codice lingua            | ita  |
| OGTV - Identificazione          | esemplare  |
| OGTC - Denominazione collezione | Collezione Meteoriti Museo di Scienze Planetarie |

### QNT - QUANTITA'

|               |   |
|---------------|---|
| QNTN - Numero | 3 |
|---------------|---|

## SP - SISTEMATICA METEORITI

### SPN - NOMENCLATURA

|   |  |
|---|--|
| <b>SPNN - Nome</b>                            | Cavezzo  |
| <b>SPNE - Genere</b>                          | Chondrite  |
| <b>SPNC - Classe</b>                          | Ordinary (anomalous)   |
| <b>SPNG - Gruppo</b>                          | L  |
| <b>SPNT - Tipo petrologico</b>                | 5  |
| <b>SPNL - Fall/ Find</b>                      | fall   |
| <b>SPND - Data</b>                            | 2020   |
| <b>SPNS - Detentore del campione tipo</b>     | Museo di Storia Naturale, Università degli Studi di Firenze, Firenze |
| <b>SPNP - Peso del campione tipo</b>          | 3.12 g   |
| <b>SPNM - Detentore massa principale</b>      | Museo di Scienze Planetarie/ Prato/ Italia                           |
| <b>SPNK - Peso massa principale</b>           | 52.19 g  |
| <b>SPNW - Peso totale conosciuto</b>          | 55.31 g  |
| <b>SPC - CARATTERISTICHE PETROGRAFICHE</b>    |  |
| <b>SPCS - Grado di shock</b>                  | S1   |
| <b>SPCT - Tessitura</b>                       | chondritic/ achondritic  |
| <b>SPCA - Alterazione (weathering grade)</b>  | W0   |
| <b>SPCC - Tipologie di condrule</b>           | BO, PO, GO, PP   |
| <b>SPI - ALTRE INFORMAZIONI</b>               |  |
| <b>SPIP - Disponibilità porzioni campione</b> | 0  |
| <b>SPIS - Disponibilità sezione sottile</b>   | 2  |
| <b>SPIG - Disponibilità granulati</b>         | 0  |
| <b>SPT - TIPO</b>                             |  |
| <b>SPTT - Tipo</b>                            | olotipo  |
| <b>SPTA - Autore</b>                          | Moggi Cecchi, V./ Pratesi, G.  |
| <b>SPTB - Referenza bibliografica</b>         | The Meteoritical Bulletin, No. 109 (2021)                            |
| <b>SPE - CARTELLINI/ ETICHETTE</b>            |  |
| <b>SPEI - Intestazione originale</b>          | Museo di Scienze Planetarie  |
| <b>SPET - Testo</b>                           | 8527   |
| <b>SPE - CARTELLINI/ ETICHETTE</b>            |  |
| <b>SPEI - Intestazione originale</b>          | Museo di Scienze Planetarie  |
| <b>SPET - Testo</b>                           | 8528   |
| <b>SPE - CARTELLINI/ ETICHETTE</b>            |  |
| <b>SPEI - Intestazione originale</b>          | Museo di Scienze Planetarie  |
| <b>SPET - Testo</b>                           | 8529   |

|            |                           |
|------------|---------------------------|
| SPA - Note | Cartellino identificativo |
|------------|---------------------------|

## LR - DATI DI RACCOLTA

### LRV - LOCALITA' DI RACCOLTA

|                               |  |
|-------------------------------|--|
| LRVT - Tipo di localizzazione | località di raccolta - dati aggiornati                         |
| LRVK - Continente             | Europa   |
| LRVS - Stato                  | Italia   |
| LRVR - Regione                | Emilia Romagna   |
| LRVP - Provincia              | Modena   |
| LRVC - Comune                 | Cavezzo  |
| LRVL - Località               | Coordinate del punto di raccolta: 44°49'43.80"N, 10°58'18.20"E |

### LRI - INFORMAZIONI SULLA RACCOLTA

|                                 |   |
|---------------------------------|---|
| LRIF - Data                     | 2020/01/01  |
| LRIL - Legit                    | Gaddi, Davide   |
| LRIU - Motivo                   | ritrovamento casuale  |
| LRIZ - Ente responsabile        | PRISMA, Istituto Nazionale di Astrofisica   |
| LRIX - Ente finanziatore        | PRISMA, Istituto Nazionale di Astrofisica   |
| LRIG - Responsabile scientifico | Gardiol, Daniele/ Pratesi, Giovanni   |
| LRIW - Metodo                   | a mani nude   |
| LRIO - Profondità               | 0   |
| LRIE - Specifiche di raccolta   | La meteorite è stata rinvenuta casualmente dal sig. Davide Gaddi mentre portava a passeggio il proprio cane. Tuttavia, la testimonianza del Sig. Gaddi riporta che il campione fu raccolto poiché nei due giorni precedenti era stata diffusa dai quotidiani la notizia della possibile caduta di un meteorite. Tale notizia era stata opportunamente divulgata da PRISMA proprio per facilitare il ritrovamento di possibili frammenti |

## LC - LOCALIZZAZIONE GEOGRAFICO-AMMINISTRATIVA

### PVC - LOCALIZZAZIONE GEOGRAFICO-AMMINISTRATIVA ATTUALE

|                  |         |
|------------------|---------|
| PVCS - Stato     | ITALIA  |
| PVCR - Regione   | Toscana |
| PVCP - Provincia | PO      |
| PVCC - Comune    | Prato   |

### LDC - COLLOCAZIONE SPECIFICA

|                               |                             |
|-------------------------------|-----------------------------|
| LDCT - Tipologia              | museo                       |
| LDCQ - Qualificazione         | scientifico                 |
| LDCN - Denominazione attuale  | Museo di Scienze Planetarie |
| LDCU - Indirizzo              | Via Galcianese 20/H         |
| LDCM - Denominazione raccolta | Museo di Scienze Planetarie |
| LDCS - Specifiche             | deposito                    |

## UB - DATI PATRIMONIALI E COLLEZIONI

### INV - INVENTARIO

|   |  |
|---|--|
| <b>INVD - Data</b>                                    | 2000-  |
| <b>INVN - Numero</b>                                  | 8527   |
| <b>INV - INVENTARIO</b>                               |  |
| <b>INVD - Data</b>                                    | 2000-  |
| <b>INVN - Numero</b>                                  | 8528   |
| <b>INV - INVENTARIO</b>                               |  |
| <b>INVD - Data</b>                                    | 2000-  |
| <b>INVN - Numero</b>                                  | 8529   |
| <b>STI - STIMA</b>                                    |  |
| <b>COL - COLLEZIONI</b>                               |  |
| <b>COLD - Denominazione</b>                           | PRISMA - INAF Osservatorio Astrofisico di Torino                 |
| <b>COLC - Nome del collezionista</b>                  | Gardiol, Daniele   |
| <b>COLA - Data ingresso del bene nella collezione</b> | 2020   |
| <b>COLU - Data uscita del bene dalla collezione</b>   | 2021   |
| <b>GP - GEOREFERENZIAZIONE TRAMITE PUNTO</b>          |  |
| <b>GPI - Identificativo Punto</b>                     | 1  |
| <b>GPL - Tipo di localizzazione</b>                   | luogo di raccolta  |
| <b>GPD - DESCRIZIONE DEL PUNTO</b>                    |  |
| <b>GPDP - PUNTO</b>                                   |  |
| <b>GPDPX - Coordinata X</b>                           | 44.8296658   |
| <b>GPDPY - Coordinata Y</b>                           | 10.97197   |
| <b>GPC - CARATTERISTICHE DEL PUNTO</b>                |  |
| <b>GPCT - Tipo</b>                                    | punto di reperimento   |
| <b>GPCL - Quota s.l.m.</b>                            | 26   |
| <b>GPM - Metodo di georeferenziazione</b>             | punto esatto   |
| <b>GPT - Tecnica di georeferenziazione</b>            | rilievo tramite GPS  |
| <b>GPP - Proiezione e Sistema di riferimento</b>      | WGS84  |
| <b>GPB - BASE DI RIFERIMENTO</b>                      |  |
| <b>GPBB - Descrizione sintetica</b>                   | GPS  |
| <b>GPBT - Data</b>                                    | 2020   |
| <b>MT - DATI TECNICI</b>                              |  |
| <b>MIS - MISURE</b>                                   |  |
| <b>MISU - Unità</b>                                   | g  |
| <b>MISG - Peso</b>                                    | 55.31  |
| <b>MISV - Specifiche</b>                              | peso complessivo degli esemplari                                 |
| <b>DA - DATI ANALITICI</b>                            |  |
| <b>DES - DESCRIZIONE</b>                              |  |
|   | Il campione è costituito da due frammenti con crosta di fusione. |

|                                       |  |
|---------------------------------------|--|
| <b>DESO - Oggetto</b>                 | L'aspetto della superficie fratturata appare dissimile tra i due frammenti. Le superfici di rottura dei due frammenti non collimano  |
| <b>NSC - Notizie storico-critiche</b> | A seguito del ritrovamento da parte del Sig. Gaddi sono state organizzate campagne di ricerca nelle aree circostanti la caduta alle quali hanno partecipato volontari appartenenti ad associazioni di protezione civile e di astrofili. Queste iniziative non hanno portato ad alcun ulteriore ritrovamento. |

**CO - CONSERVAZIONE**

**STC - STATO DI CONSERVAZIONE**

|  |   |
|--|---|
| <b>STCP - Riferimento alla parte</b>           | Il dato è riferibile a tutti gli esemplari  |
| <b>STCT - Tipo di conservazione</b>            | armadio tecnico con condizioni di umidità controllata   |
| <b>STCE - Specifiche tipo di conservazione</b> | RH inferiore o uguale al 5%   |
| <b>STCD - Data</b>                             | 2021  |
| <b>STCC - Stato di conservazione</b>           | buono   |
| <b>STCS - Indicazioni specifiche</b>           | La conservazione degli esemplari all'interno dell'armadio tecnico consente di mantenere costante l'indice RH5%  |
| <b>STCO - Condizione originale</b>             | Nei momenti successivi al ritrovamento, gli esemplari sono stati sistemati all'interno di un foglio di alluminio. Alla loro consegna all'equipe di scienziati, questi sono stati allocati in un contenitore in vetro a tenuta stagna con gel di silice  |
| <b>STCM - Modalità di conservazione</b>        | Gli esemplari devono essere conservati all'interno di armadi o vetrine espositive con condizioni di umidità controllata. In caso di manipolazione, si raccomanda l'uso di guanti in plastica usa e getta. In occasione di mostre ed esposizioni temporanee, gli esemplari devono essere trasportati in contenitori a tenuta stagna contenenti gel di silice. Il campione non deve essere collocato a diretto contatto con la silice |

**RS - RESTAURI E ANALISI**

**ALB - ANALISI DI LABORATORIO**

|  |  |
|--|--|
| <b>ALBT - Tipo</b>                           | EPMA   |
| <b>ALBD - Data</b>                           | 2020   |
| <b>ALBE - Ente responsabile/ Laboratorio</b> | Microsonda del Dipartimento di Scienze della Terra - Università degli Studi di Firenze |
| <b>ALBO - Nome operatore/ Responsabile</b>   | Pratesi, Giovanni  |

**ALB - ANALISI DI LABORATORIO**

|  |  |
|--|--|
| <b>ALBT - Tipo</b>                           | SEM-EDS  |
| <b>ALBD - Data</b>                           | 2020   |
| <b>ALBE - Ente responsabile/ Laboratorio</b> | MEMA Centro di Servizi di Microscopia Elettronica e Microanalisi - Università degli Studi di Firenze |
| <b>ALBO - Nome operatore/ Responsabile</b>   | Pratesi, Giovanni  |

**ALB - ANALISI DI LABORATORIO**

|                    |                          |
|--------------------|--------------------------|
| <b>ALBT - Tipo</b> | Oxygen isotopic analysis |
| <b>ALBD - Data</b> | 2020                     |

|  |  |
|--|--|
| <b>ALBE - Ente responsabile/<br/>Laboratorio</b> | Planetary and Space Sciences Department of Physical Sciences - The Open University |
| <b>ALBO - Nome operatore/<br/>Responsabile</b>   | Greenwood, Richard   |
| <b>ALB - ANALISI DI LABORATORIO</b>              |  |
| <b>ALBT - Tipo</b>                               | ICP-MS   |
| <b>ALBD - Data</b>                               | 2020   |
| <b>ALBE - Ente responsabile/<br/>Laboratorio</b> | Planetary and Space Sciences Department of Physical Sciences - The Open University |
| <b>ALBO - Nome operatore/<br/>Responsabile</b>   | Hammond, Samantha  |
| <b>ALB - ANALISI DI LABORATORIO</b>              |  |
| <b>ALBT - Tipo</b>                               | Galactic cosmic-ray measurements   |
| <b>ALBD - Data</b>                               | 2020   |
| <b>ALBE - Ente responsabile/<br/>Laboratorio</b> | Laboratorio del Monte dei Cappuccini - INAF UniTo                                  |
| <b>ALBO - Nome operatore/<br/>Responsabile</b>   | Taricco, Carla   |
| <b>ALBO - Nome operatore/<br/>Responsabile</b>   | Barghini, Dario  |
| <b>ALB - ANALISI DI LABORATORIO</b>              |  |
| <b>ALBT - Tipo</b>                               | Noble Gas measurements   |
| <b>ALBD - Data</b>                               | 2021   |
| <b>ALBE - Ente responsabile/<br/>Laboratorio</b> | Eidgenössische Technische Hochschule Zürich  |
| <b>ALBO - Nome operatore/<br/>Responsabile</b>   | Busemann, Henner   |
| <b>ALB - ANALISI DI LABORATORIO</b>              |  |
| <b>ALBT - Tipo</b>                               | VIS-NIR spectroscopy   |
| <b>ALBD - Data</b>                               | 2021   |
| <b>ALBE - Ente responsabile/<br/>Laboratorio</b> | Istituto di Astrofisica e Planetologia Spaziali - INAF Roma                        |
| <b>ALBO - Nome operatore/<br/>Responsabile</b>   | Carli, Cristian  |
| <b>ALB - ANALISI DI LABORATORIO</b>              |  |
| <b>ALBT - Tipo</b>                               | XRF  |
| <b>ALBD - Data</b>                               | 2021   |
| <b>ALBE - Ente responsabile/<br/>Laboratorio</b> | Department of Geosciences, Johannes Gutenberg University, Mainz                    |
| <b>ALBO - Nome operatore/<br/>Responsabile</b>   | Groschopf, Nora  |
| <b>ALBO - Nome operatore/<br/>Responsabile</b>   | Aquino, Andrea   |
| <b>TU - CONDIZIONE GIURIDICA E VINCOLI</b>       |  |
| <b>ACQ - ACQUISIZIONE</b>                        |  |
| <b>ACQT - Tipo acquisizione</b>                  | deposito   |

|  |                                      |
|--|--------------------------------------|
| ACQN - Nome                                  | Gardiol, Daniele                     |
| ACQD - Data acquisizione                     | 2021                                 |
| <b>CDG - CONDIZIONE GIURIDICA</b>            |                                      |
| CDGG - Indicazione generica                  | proprietà Ente pubblico territoriale |
| CDGS - Indicazione specifica                 | Provincia di Prato                   |
| <b>DO - FONTI E DOCUMENTI DI RIFERIMENTO</b> |                                      |
| <b>FTA - DOCUMENTAZIONE FOTOGRAFICA</b>      |                                      |
| FTAX - Genere                                | documentazione esistente             |
| FTAP - Tipo                                  | fotografia digitale (file)           |
| FTAN - Codice identificativo                 | Cavezzo_1                            |
| <b>FTA - DOCUMENTAZIONE FOTOGRAFICA</b>      |                                      |
| FTAX - Genere                                | documentazione esistente             |
| FTAP - Tipo                                  | fotografia digitale (file)           |
| FTAN - Codice identificativo                 | Cavezzo_BSE fotomosaico              |
| <b>FTA - DOCUMENTAZIONE FOTOGRAFICA</b>      |                                      |
| FTAX - Genere                                | documentazione esistente             |
| FTAP - Tipo                                  | fotografia digitale (file)           |
| FTAN - Codice identificativo                 | Cavezzo_Specimen 1                   |
| <b>FTA - DOCUMENTAZIONE FOTOGRAFICA</b>      |                                      |
| FTAX - Genere                                | documentazione esistente             |
| FTAP - Tipo                                  | fotografia digitale (file)           |
| FTAN - Codice identificativo                 | Cavezzo_CP                           |
| <b>FTA - DOCUMENTAZIONE FOTOGRAFICA</b>      |                                      |
| FTAX - Genere                                | documentazione esistente             |
| FTAP - Tipo                                  | fotografia digitale (file)           |
| FTAN - Codice identificativo                 | Cavezzo_CP_1                         |
| <b>FTA - DOCUMENTAZIONE FOTOGRAFICA</b>      |                                      |
| FTAX - Genere                                | documentazione esistente             |
| FTAP - Tipo                                  | fotografia digitale (file)           |
| FTAN - Codice identificativo                 | Cavezzo_phase maps                   |
| <b>FTA - DOCUMENTAZIONE FOTOGRAFICA</b>      |                                      |
| FTAX - Genere                                | documentazione esistente             |
| FTAP - Tipo                                  | fotografia digitale (file)           |
| FTAN - Codice identificativo                 | Cavezzo_BSE_Sample 1a                |
| <b>FTA - DOCUMENTAZIONE FOTOGRAFICA</b>      |                                      |
| FTAX - Genere                                | documentazione esistente             |
| FTAP - Tipo                                  | fotografia digitale (file)           |
| FTAN - Codice identificativo                 | Cavezzo_BSE_Sample 1a_1              |
| <b>FTA - DOCUMENTAZIONE FOTOGRAFICA</b>      |                                      |
| FTAX - Genere                                | documentazione esistente             |
| FTAP - Tipo                                  | fotografia digitale (file)           |

|   |                            |
|---|----------------------------|
| <b>FTAN - Codice identificativo</b>     | Cavezzo_BSE_Sample 2a      |
| <b>FTA - DOCUMENTAZIONE FOTOGRAFICA</b> |                            |
| <b>FTAX - Genere</b>                    | documentazione esistente   |
| <b>FTAP - Tipo</b>                      | fotografia digitale (file) |
| <b>FTAN - Codice identificativo</b>     | Xray Tomography_Fe,Ni_S2   |
| <b>FTA - DOCUMENTAZIONE FOTOGRAFICA</b> |                            |
| <b>FTAX - Genere</b>                    | documentazione esistente   |
| <b>FTAP - Tipo</b>                      | fotografia digitale (file) |
| <b>FTAN - Codice identificativo</b>     | Cavezzo_2                  |
| <b>FTA - DOCUMENTAZIONE FOTOGRAFICA</b> |                            |
| <b>FTAX - Genere</b>                    | documentazione esistente   |
| <b>FTAP - Tipo</b>                      | fotografia digitale (file) |
| <b>FTAN - Codice identificativo</b>     | Cavezzo_3                  |
| <b>FTA - DOCUMENTAZIONE FOTOGRAFICA</b> |                            |
| <b>FTAX - Genere</b>                    | documentazione esistente   |
| <b>FTAP - Tipo</b>                      | fotografia digitale (file) |
| <b>FTAN - Codice identificativo</b>     | Cavezzo_4                  |
| <b>FTA - DOCUMENTAZIONE FOTOGRAFICA</b> |                            |
| <b>FTAX - Genere</b>                    | documentazione esistente   |
| <b>FTAP - Tipo</b>                      | fotografia digitale (file) |
| <b>FTAN - Codice identificativo</b>     | Cavezzo_5                  |
| <b>FTA - DOCUMENTAZIONE FOTOGRAFICA</b> |                            |
| <b>FTAX - Genere</b>                    | documentazione esistente   |
| <b>FTAP - Tipo</b>                      | fotografia digitale (file) |
| <b>FTAA - Autore</b>                    | Faggi, Daniela             |
| <b>FTAD - Data</b>                      | 2021                       |
| <b>FTAE - Ente proprietario</b>         | Fondazione Parsec          |
| <b>FTAN - Codice identificativo</b>     | Cavezzo_6                  |
| <b>FTA - DOCUMENTAZIONE FOTOGRAFICA</b> |                            |
| <b>FTAX - Genere</b>                    | documentazione esistente   |
| <b>FTAP - Tipo</b>                      | fotografia digitale (file) |
| <b>FTAA - Autore</b>                    | Faggi, Daniela             |
| <b>FTAD - Data</b>                      | 2021                       |
| <b>FTAE - Ente proprietario</b>         | Fondazione Parsec          |
| <b>FTAN - Codice identificativo</b>     | Cavezzo_7                  |
| <b>FTA - DOCUMENTAZIONE FOTOGRAFICA</b> |                            |
| <b>FTAX - Genere</b>                    | documentazione esistente   |
| <b>FTAP - Tipo</b>                      | fotografia digitale (file) |
| <b>FTAN - Codice identificativo</b>     | CavezzoEuromineralexpo_TO  |
| <b>DRA - DOCUMENTAZIONE GRAFICA</b>     |                            |
| <b>DRAX - Genere</b>                    | documentazione esistente   |
| <b>DRAT - Tipo</b>                      | grafico                    |



|   |  |
|---|--|
| <b>DRAN - Codice identificativo</b>                   | Cavezzo_modal mineralogy   |
| <b>DRA - DOCUMENTAZIONE GRAFICA</b>                   |  |
| <b>DRAX - Genere</b>                                  | documentazione esistente   |
| <b>DRAT - Tipo</b>                                    | grafico  |
| <b>DRAN - Codice identificativo</b>                   | Cavezzo_bulk composition   |
| <b>DRA - DOCUMENTAZIONE GRAFICA</b>                   |  |
| <b>DRAX - Genere</b>                                  | documentazione esistente   |
| <b>DRAT - Tipo</b>                                    | grafico  |
| <b>DRAN - Codice identificativo</b>                   | Cavezzo_REE pattern_S1-2   |
| <b>DRA - DOCUMENTAZIONE GRAFICA</b>                   |  |
| <b>DRAX - Genere</b>                                  | documentazione esistente   |
| <b>DRAT - Tipo</b>                                    | grafico  |
| <b>DRAN - Codice identificativo</b>                   | Cavezzo_Oxygen isotopes  |
| <b>DRA - DOCUMENTAZIONE GRAFICA</b>                   |  |
| <b>DRAX - Genere</b>                                  | documentazione esistente   |
| <b>DRAT - Tipo</b>                                    | grafico  |
| <b>DRAN - Codice identificativo</b>                   | Cavezzo_Fs_Fa_Contents   |
| <b>ADM - ALTRA DOCUMENTAZIONE MULTIMEDIALE</b>        |  |
| <b>ADMX - Genere</b>                                  | documentazione esistente   |
| <b>ADMP - Tipo</b>                                    | file in formato.mov  |
| <b>ADMA - Autore</b>                                  | Bartolini Lucenti, Saverio   |
| <b>ADMD - Data</b>                                    | 2021/01/00   |
| <b>ADME - Ente proprietario</b>                       | Paleo[Fab]Lab/ Laboratorio di Paleontologia Digitale/ Dipartimento di Scienze della Terra/ Università degli Studi di Firenze                           |
| <b>ADMN - Codice identificativo</b>                   | Cavezzo_3D scanner   |
| <b>BSE - BIBLIOGRAFIA SU SUPPORTO ELETTRONICO</b>     |  |
| <b>BSEX - Genere</b>                                  | bibliografia specifica   |
| <b>BSES - Tipo di supporto</b>                        | risorsa elettronica con accesso remoto   |
| <b>BSEA - Autore/Curatore dell'opera</b>              | Gattacceca, J./ McCubbin, F.M./ Grossman, J./ Bouvier, A./ Bullock, E./ Chennaoui Aoudjehane, V.D./ D'Orazio, M./ Komatsu, M./ Miao, B./ Schrader, D.L |
| <b>BSET - Titolo dell'opera</b>                       | Meteoritics & Planetary Science  |
| <b>BSEL - Luogo di edizione</b>                       | USA  |
| <b>BSEE - Editore/Produttore /Distributore</b>        | Wiley  |
| <b>BSED - Data di edizione</b>                        | 2021   |
| <b>BSER - Autore del contributo</b>                   | Moggi Cecchi, V./ Pratesi, G.  |
| <b>BSEC - Titolo del contributo /parte componente</b> | The Meteoritical Bulletin No. 109  |

|   |  |
|---|--|
| <b>BSEK - Specifiche</b>                              | Vol. 56, n. 8, pp. 1626-1630   |
| <b>BSEI - Indirizzo di rete</b>                       | <a href="https://onlinelibrary.wiley.com/doi/epdf/10.1111/maps.13714">https://onlinelibrary.wiley.com/doi/epdf/10.1111/maps.13714</a>              |
| <b>BSE - BIBLIOGRAFIA SU SUPPORTO ELETTRONICO</b>     |  |
| <b>BSEX - Genere</b>                                  | bibliografia specifica   |
| <b>BSES - Tipo di supporto</b>                        | risorsa elettronica con accesso remoto   |
| <b>BSET - Titolo dell'opera</b>                       | Proceedings of the 84th Annual Meeting of the Meteoritical Society held August 15-21, 2021 in Chicago, Illinois                                    |
| <b>BSEL - Luogo di edizione</b>                       | Chicago  |
| <b>BSEE - Editore/Produttore /Distributore</b>        | Meteoritical Society   |
| <b>BSED - Data di edizione</b>                        | 2021   |
| <b>BSER - Autore del contributo</b>                   | Pratesi, G./ Moggi Cecchi, V./ Greenwood, R.C./ Franchi, I.A./ Hammond, S./ Di Martino, M./ Barghini, D./ Taricco, C. et al.                       |
| <b>BSEC - Titolo del contributo /parte componente</b> | Mineralogy, Petrography and Geochemistry of Cavezzo, a "Double-Faced" Chondrite  |
| <b>BSEK - Specifiche</b>                              | LPI Contribution No. 2609, id.6271   |
| <b>BSEI - Indirizzo di rete</b>                       | <a href="https://www.hou.usra.edu/meetings/metsoc2021/pdf/6271.pdf">https://www.hou.usra.edu/meetings/metsoc2021/pdf/6271.pdf</a>                  |
| <b>BSE - BIBLIOGRAFIA SU SUPPORTO ELETTRONICO</b>     |  |
| <b>BSEX - Genere</b>                                  | bibliografia specifica   |
| <b>BSES - Tipo di supporto</b>                        | risorsa elettronica con accesso remoto   |
| <b>BSET - Titolo dell'opera</b>                       | Proceedings of the 84th Annual Meeting of the Meteoritical Society held August 15-21, 2021 in Chicago, Illinois                                    |
| <b>BSEL - Luogo di edizione</b>                       | Chicago  |
| <b>BSEE - Editore/Produttore /Distributore</b>        | Meteoritical Society   |
| <b>BSED - Data di edizione</b>                        | 2021   |
| <b>BSER - Autore del contributo</b>                   | Szurgot, M.A.  |
| <b>BSEC - Titolo del contributo /parte componente</b> | Mean Atomic Weight, Grain Density, and Porosity of Cavezzo Chondrite   |
| <b>BSEK - Specifiche</b>                              | LPI Contribution No. 2609, id.6009   |
| <b>BSEI - Indirizzo di rete</b>                       | <a href="https://www.hou.usra.edu/meetings/metsoc2021/pdf/6009.pdf">https://www.hou.usra.edu/meetings/metsoc2021/pdf/6009.pdf</a>                  |
| <b>BSE - BIBLIOGRAFIA SU SUPPORTO ELETTRONICO</b>     |  |
| <b>BSEX - Genere</b>                                  | bibliografia specifica   |
| <b>BSES - Tipo di supporto</b>                        | risorsa elettronica con accesso remoto   |
| <b>BSET - Titolo dell'opera</b>                       | Meteoritics & Planetary Science  |
| <b>BSEE - Editore/Produttore /Distributore</b>        | Wiley  |
| <b>BSED - Data di edizione</b>                        | 2021   |
| <b>BSER - Autore del contributo</b>                   | Pratesi, G./ Moggi Cecchi, V./ Greenwood, R.C./ Franchi, I.A./ Hammond, S./ Di Martino, M./ Barghini, D./ Taricco, C./ Carbognani, A./ Gardiol, D. |
| <b>BSEC - Titolo del contributo /parte componente</b> | Cavezzo—The double face of a meteorite: Mineralogy, petrography, and geochemistry of a very unusual chondrite                                      |
| <b>BSEK - Specifiche</b>                              | Volume 56, Issue 6, pp. 1125-1150  |

|   |   |
|---|---|
| <b>BSEI - Indirizzo di rete</b>                       | <a href="https://onlinelibrary.wiley.com/doi/epdf/10.1111/maps.13695">https://onlinelibrary.wiley.com/doi/epdf/10.1111/maps.13695</a>   |
| <b>BSE - BIBLIOGRAFIA SU SUPPORTO ELETTRONICO</b>     |   |
| <b>BSEX - Genere</b>                                  | bibliografia specifica  |
| <b>BSES - Tipo di supporto</b>                        | risorsa elettronica con accesso remoto  |
| <b>BSET - Titolo dell'opera</b>                       | Monthly Notices of the Royal Astronomical Society   |
| <b>BSEE - Editore/Produttore /Distributore</b>        | Oxford Academic   |
| <b>BSED - Data di edizione</b>                        | 2021  |
| <b>BSER - Autore del contributo</b>                   | Gardiol, D./ Barghini, D./ Buzzoni, A./ Carbognani, A./ Di Carlo, M./ Di Martino, M./ Knapic, C./ Londero, E./ Pratesi, G./ Rasetti, S. et al.  |
| <b>BSEC - Titolo del contributo /parte componente</b> | Cavezzo, the first Italian meteorite recovered by the PRISMA fireball network. Orbit, trajectory, and strewn-field  |
| <b>BSEK - Specifiche</b>                              | Volume 501, Issue 1, pp.1215-1227   |
| <b>BSEI - Indirizzo di rete</b>                       | <a href="https://academic.oup.com/mnras/article-abstract/501/1/1215/5998250?redirectedFrom=PDF">https://academic.oup.com/mnras/article-abstract/501/1/1215/5998250?redirectedFrom=PDF</a> |
| <b>BSE - BIBLIOGRAFIA SU SUPPORTO ELETTRONICO</b>     |   |
| <b>BSEX - Genere</b>                                  | bibliografia di confronto   |
| <b>BSES - Tipo di supporto</b>                        | risorsa elettronica con accesso remoto  |
| <b>BSET - Titolo dell'opera</b>                       | Astronomy & Astrophysics  |
| <b>BSED - Data di edizione</b>                        | 2021  |
| <b>BSER - Autore del contributo</b>                   | Colas, F./ Zanda, B./ Bouley, S./ Jeanne, S./ Malgoyre, A./ Birlan, M./ Blanpain, C./ Gattacceca, J./ Jorda, L./ Lecubin, J./ Marmo, C. et al.  |
| <b>BSEC - Titolo del contributo /parte componente</b> | FRIPON: a worldwide network to track incoming meteoroids  |
| <b>BSEK - Specifiche</b>                              | Volume 644, id.A53  |
| <b>BSEI - Indirizzo di rete</b>                       | <a href="https://arxiv.org/abs/2012.00616">https://arxiv.org/abs/2012.00616</a>   |
| <b>BSE - BIBLIOGRAFIA SU SUPPORTO ELETTRONICO</b>     |   |
| <b>BSEX - Genere</b>                                  | bibliografia specifica  |
| <b>BSES - Tipo di supporto</b>                        | risorsa elettronica con accesso remoto  |
| <b>BSET - Titolo dell'opera</b>                       | 14th Europlanet Science Congress 2020, held virtually, 21 September 2020 - 9 October, 2020  |
| <b>BSED - Data di edizione</b>                        | 2020  |
| <b>BSER - Autore del contributo</b>                   | Gardiol, D.   |
| <b>BSEC - Titolo del contributo /parte componente</b> | PRISMA and the finding of the Cavezzo meteorite: the success of a close collaboration among professional astronomers, amateurs and citizens   |
| <b>BSEK - Specifiche</b>                              | EPSC2020-1051   |
| <b>BSEI - Indirizzo di rete</b>                       | <a href="https://meetingorganizer.copernicus.org/EPSC2020/EPSC2020-1051.html">https://meetingorganizer.copernicus.org/EPSC2020/EPSC2020-1051.html</a>                                     |
| <b>BSE - BIBLIOGRAFIA SU SUPPORTO ELETTRONICO</b>     |   |
| <b>BSEX - Genere</b>                                  | bibliografia specifica  |
| <b>BSES - Tipo di supporto</b>                        | risorsa elettronica con accesso remoto  |
| <b>BSET - Titolo dell'opera</b>                       | 14th Europlanet Science Congress 2020, held virtually, 21 September 2020 - 9 October, 2020  |
| <b>BSED - Data di edizione</b>                        | 2020  |

|  |   |
|--|---|
| <b>BSER - Autore del contribuuto</b>                   | Gardiol, D./ Barghini, D./ Buzzoni, A./ Carbognani, A./ Di Carlo, M./ Di Martino, M./ Knapic, C./ Londero, E./ Pratesi, G./ Rasetti, S. et al.  |
| <b>BSEC - Titolo del contribuuto /parte componente</b> | A report on the New Year's meteorite found near Cavezzo, Italy  |
| <b>BSEK - Specifiche</b>                               | EPSC2020-290  |
| <b>BSEI - Indirizzo di rete</b>                        | <a href="https://meetingorganizer.copernicus.org/EPSC2020/EPSC2020-290.html">https://meetingorganizer.copernicus.org/EPSC2020/EPSC2020-290.html</a>   |
| <b>MST - MOSTRE</b>                                    |   |
| <b>MSTT - Titolo</b>                                   | 50° EuroMineralExpo   |
| <b>MSTL - Luogo, sede espositiva, data</b>             | EuroMineralExpo, Pala Alpitour, Torino 1-3 ottobre 2021   |
| <b>MSTS - Specifiche</b>                               | Mostra mercato di campioni geo-mineralogici e gemmologici. È stato esposto il campione di massa maggiore  |
| <b>MST - MOSTRE</b>                                    |   |
| <b>MSTT - Titolo</b>                                   | Bologna Mineral Show  |
| <b>MSTL - Luogo, sede espositiva, data</b>             | Unipol Arena, Bologna, 11-13 marzo 2022   |
| <b>MSTS - Specifiche</b>                               | Mostra mercato di campioni geo-mineralogici e gemmologici. È stato esposto il campione di massa maggiore  |
| <b>AD - ACCESSO AI DATI</b>                            |   |
| <b>ADS - SPECIFICHE DI ACCESSO AI DATI</b>             |   |
| <b>ADSP - Profilo di accesso</b>                       | 1   |
| <b>ADSM - Motivazione</b>                              | scheda contenente dati liberamente accessibili  |
| <b>CM - COMPILAZIONE</b>                               |   |
| <b>CMP - COMPILAZIONE</b>                              |   |
| <b>CMPD - Data</b>                                     | 2021  |
| <b>CMPN - Nome</b>                                     | Faggi, Daniela  |
| <b>RSR - Referente scientifico</b>                     | Morelli, Marco  |
| <b>RSR - Referente scientifico</b>                     | Pratesi, Giovanni   |
| <b>RSR - Referente scientifico</b>                     | Franza, Annarita  |
| <b>FUR - Funzionario responsabile</b>                  | Morelli, Marco  |
| <b>AN - ANNOTAZIONI</b>                                |   |
| <b>OSS - Osservazioni</b>                              | In riferimento al lavoro di Pratesi et al. 2021, si segnala che i campioni 1a, 1c, 2b sono depositati presso il Museo di Storia Naturale dell'Università degli Studi di Firenze (Inv. n. I3557-3, I3557-2, and I3613-2) |